

# 濃淡情報を用いた曲面物体の運動と形状の解析 (円筒状物体の場合)

## INFERRING MOTION OF CYLINDRICAL OBJECT FROM SHADING

浅田 稔 辻三郎

Minoru Asada and Saburo Tsuji

大阪大学 基礎工学部

Department of Control Engineering      Osaka University

### ABSTRACT

Computational analysis of image shading in time-varying imagery for estimating motion of cylindrical object is explored. At first each image is segmented into spherical, cylindrical, or planar surfaces by analyzing local shading. With knowledge on lighting conditions, motion of the cylindrical object between frames is determinable by the local shading analysis or the reflectance map method. An additional constraint on surface orientations obtained from important global information, the brightest generating line, augments the reflectance map method as follows. (1) Estimation of base orientation from image intensities and the direction of generating line is easy. (2) Discrimination of true orientation from its reflection is possible. (3) Estimation of orientations in consecutive frames is possible in absence of prior knowledge on albedo of the object. Experimental results for images synthesized by computer are shown.

### 1.はじめに

最近、ロボット・ビジョンへの応用と/oruう観点から、時間的に変化する画像を入力し、物体の3次元運動を理解する研究が盛んになされてい。ほとんどの研究<sup>[1,2など]</sup>では、画面間の特徴点を対応付け、その結果から剛体の3次元構造を算出するものである。しかししながら、曲面物体を対象とした場合、その表面に特徴的なパターンがない限り、画面間の対応付けは困難であり、従来の研究では解析できなかつた。

そこで、我々は、良く見かける曲面物体の例として、円筒状物体を対象とし、その形状と運動を理解する2つの方法を研究してさだ。

1つは、画像面に映る物体の形状の時間的变化を解析する方法である。<sup>[3]</sup>この場合、円筒状物体の底面と切線が垂直であるれば、2枚の画像からその物体の形状と運動が理解できる事が判つていい。

ここでは、もう1つの手法として、濃淡情報を用いた円筒状物体の運動の理解について述べる。もし濃淡画像から、各点の法線ベクトルが求められれば、底面の向きが判り、その方向で底面の輪郭線を対応付けることごとく、物体の運動は明らかとなる。Pentland<sup>[4]</sup>は対象とする曲面が球面近似できる場合について、照明条件(物体の面の反射率や照明の方向等)なしに、濃淡画像から各点の法線ベクトルを求めたが、円筒状物体の場合、球面近似が適用できず、各点の法線ベクトルは求められない。照明条件が既知であれば、局所的な濃淡情報の解析、もしくはHorn<sup>[5]</sup>による反射率地図法(Reflectance Map Method)によつて、各点の法線ベクトルを求める事は可能である。

これらの方法は計算が複雑であり、しかも一般には複数個の解が得られ、どうが真の解か判らぬ。ここでは、大局的な濃淡情報を用いた拡張反射

率地図法を提案する。この方法では、各点の明るさと、最も明るい母線の方向からの拘束条件を利用してくる。この条件から、底面の法線ベクトルの2つの候補を容易に算出できる。これら2つの解は照明方向に密接に対応し、それらの区別も可能である。

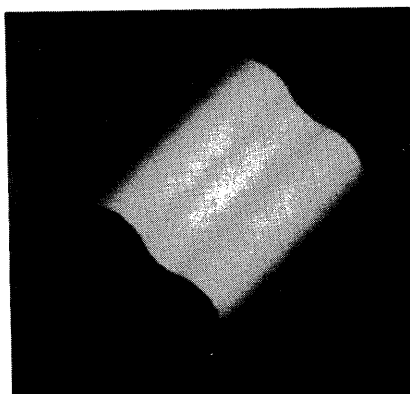
照明条件の中の照明方向は、既知の場合が多いが、面の反射係数は物体の種類などに左右され、利用できな場合が多い。そこで円筒状物体の剛体性を利用して、その底面積や母線の長さが変化しない事から、最も適切な面の反射係数を求める事ができる。即ち、それそれの画面で、面の反射係数の各値に対する底面積と母線の長さを求め、それらが複数画面で一致する様な反射係数を見ることである。

本文では合成画像に適用した結果を示す。

## 2. 前提条件

本研究では、以下の4つの仮定を設ける。

- (1) 投影法は直交射影である。
- (2) シーンは单一動物体を含む。
- (3) 物体は底面と円筒状の面(以下、



(a)

凹鏡面と呼ぶ。)を持つ。

ミニズは凹鏡面を、開曲線を通る平行直線群(母線)によくあらわす下面と定義する。

(4) 面は一様乱反射面であり、一定の反射係数を持つ。

仮定(4)より、画像面上の各点の見かけの明るさEは、面の反射係数をP、入射光の強さをI、その点の法線ベクトルをN、照明方向を表すベクトルをLとして( $N \cdot L$ はいざんも単位ベクトル)次式で与えられる。

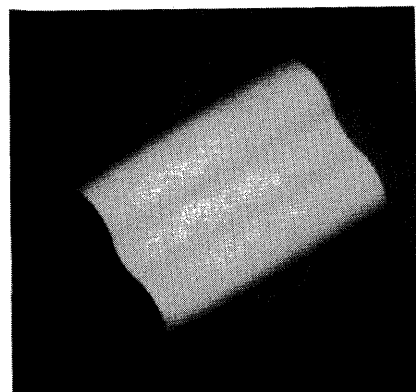
$$E = P I * (N \cdot L). \dots \dots \dots (1)$$

より簡単に、シーン中の未知の物体の面を、その明るさの分布によって、球面、凹鏡面、平面に分類できる。即ち、仮定(3)が満足されていなければ検証できる。

## 3. 濃淡画像の解析

### 3.1 局所的な解析

Pentland [3] は、照明条件(前述のP\*IとL)が未知の場合の濃淡画像の局所的な解析を示した。彼の方法では、一様乱反射面で、局所的に球面近似(等主曲率面)がまかば、その点の法線ベクトルが求められる。また、各点ごと



(b)

図1. 入力画像

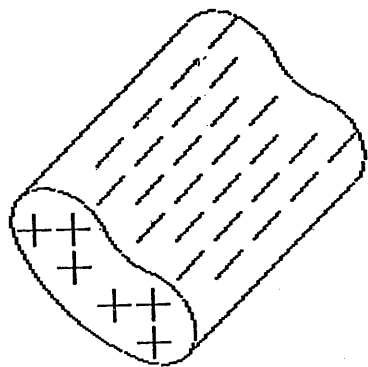


図2. 図1.(a)に対する画の分類結果

の近傍が、①平面であるが、②円筒面などの平面に展開できる曲面か、③球面の様に平面に展開できない曲面か、の判別もできる。

次に、法線方向を画の分類に利用していよう。即ち、与えられた濃淡画像を、平面、円筒面、球面の各領域に分割する。図1に入力画像を示す。256\*256点、8ビットの円筒状物体の合成画像である。図2.は図1.(a)に対する画の分類の適用結果である。「+」と「/」はそれとし、平面と円筒面の領域を示す事を示している。この図から、この物体が、円筒面と平面からなる、これを事が判る。更に、円筒面の重要な特徴として、法線の方向も得られる。(「/」の方向)

もし、濃淡画像の解析によ、2、円筒面の各点の法線方向が求められれば、当然、底面の向きにも拘束を与える。底面の向きが判れば、それを正面に向きを変える事によって底面の形が判る。そして、画像内底面の輪郭線と対応付ければ、ミニマ中の物体の運動が決定される。しかししながら、局所的で解析では、照明条件なしに、円筒面の各点の法線ベクトルを求める事はできない。以下にそれを示す。

円筒面の解析には、Pentland [4]が使用するモルタルの代りに円筒モデルが使

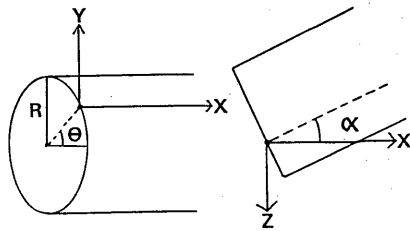


図3. 円筒状物体を解析する時の法線

である。今、図3に示す様に、X軸が、画面内の法線の方向と一致しているとすると、3つの値  $E_x, E_y, E_{xy}$  が解析に利用できる。ここで、 $E(x,y)$  は点  $(x,y)$  の明るさ、 $E_y = \partial E / \partial y$ ,  $E_{xy} = \partial^2 E / \partial y^2$  である。この場合、各点の法線ベクトルを求めるには、図3に示す3つの未知数  $R, \theta, \alpha$  が存在する。 $R$  は円筒の半径、 $\theta$  は、その点が円筒のどの位置かを表すパラメータ、 $\alpha$  は法線の進行方向の極小角である。又、照明条件(画の反射係数と入射光の強さの積  $PI$  と、照明方向  $L$  を表す2つのパラメータと、計3つの変数)が未知の場合には、局所的で明るさの情報を、円筒面上の各点の法線ベクトルを求めることが不可能である。

### 3.2 拡張された反射率地図法

上述べた様に、照明条件の3つのパラメータが判れば、局所的で解析から、円筒面上の各点の法線ベクトルは求めらる。同じ条件下では、Horn [5]により、拡張された反射率地図を利用する方法が考えられる。

今、底面と円筒面の向きの関係について考えてみる。3つの面が交わってできるY型接続点を使って、3つの面の拘束条件を導く。勾配空間(Gradient Space)での解析は、円筒面の場合にも有効である。図4は、勾配空間における

ける円筒状物体の面の拘束条件を表してみる。既に、母線方向は判り、2つの面のうち、曲面内の円筒面は、同じ明るさを持つ母線を含む細い面群に分割される。

底面と円筒面上の任意の2面を表す勾配空間上の位置を示すのが  $G_1, G_2, G_3$  とする。これら3

点は3本の直線によつて構成される三角形の頂点となる。3本の直線は、母線に対する勾配直線 (Gradient Line) と、円筒面上の2面と底面に対する勾配直線である。後の2本の勾配直線の方向は、図4(a)に示す様に、円筒面上の接平面に沿つてある底面の輪郭線上の点との接線に垂直な方向である。

この拘束から、6つの未知数 (各面の向きを表す勾配空間の3点の座標  $(P_i, q_i)$  ( $i=1 \sim 3$ )) の内、3つを消去できる。言へば、残り3つの未知数を知る必要がある。即ち、三角形  $G_1 G_2 G_3$  の位置と大きさである。今、底面と他の2面の明るさが判れば、反射率

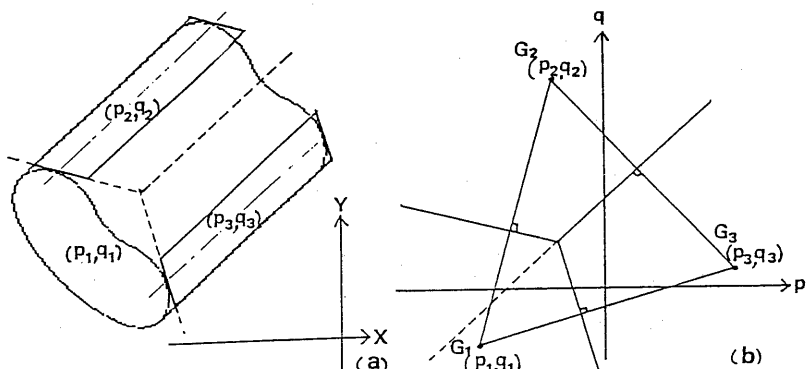


図4. 勾配空間への射影

地図法<sup>(5)</sup>を使ってそれらの面の向きを計算できる。しかししながら、この計算は複雑である。なぜなら、照明条件と各面の明るさにより、決まる円錐曲線上に頂点が来る様に、三角形の位置と大きさを、反射率地図の上に変えるければならない。しかも、複数個の解が得られ、一意に定まらない。

そこで我々は、もと簡単な決定法として拡張反射率地図法を提案する。円筒面上の各点の勾配 (Gradient) は同一の母線上では等しい。また、母線に垂直な方向に連続である。もし連続でないとしたら、円筒面が滑らかでなくなり、底面の形に特徴的なものが存在してしまう。そこで先ず始めに、最も明るい母線を見出し、その明るさを計測する。この母線に対する勾配は、勾配空間での明るさに対応する円錐曲線の2つの接線の接点  $A_1, A_2$  として図5に示す様に求められる。接線の方向は母線に垂直な方向である。これら2点から、底面の向きの候補として  $E_1, E_2$  が求められる。これらの中には底面の明るさに対応する円錐曲線と、 $A_1, A_2$  からの底面に対する勾配直線との交点である。

最も明るい母線による拘束は、図4に示した三角形による拘束とは独立であり、これら2つの拘束条件から、 $E_1$

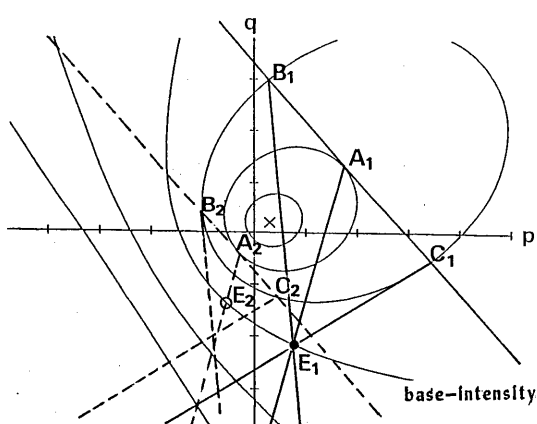


図5. 底面の向きの決定

と  $E_2$  の 2つの場合から真の解を得る事ができる。即ち、最も明るい母線以外の他の 2つの母線を選び、それらの明るさに対する対応する円錐曲線と、最も明るい母線によると決定された勾配直線の交点として、これら 2つの母線の勾配の 2組の候補  $(B_1, C_1)$  と  $(B_2, C_2)$  を得る。これらの点から平面に対する勾配直線を下した時、 $E_1$  と  $E_2$  のどちらが、より収束するかによると真の解を得ることができる。(図 5 では  $E_1$  が真)

### 3.3 反射係数が未知の場合の円筒状物体の運動解析

前節では、照明条件が与えられれば、局所的の濃淡情報の解析、もしくは、通常の反射率地図法<sup>[5]</sup>によると、各点の法線ベクトルが求められる事を示した。最も明るい母線の明るさと、その方向という重要な情報は、一つの拘束条件となり、円筒状物体の運動を解析する上で、照明条件を表す  $\pi^0 X - \pi^0 \alpha$  の内、2つを充分である事を示す。

多くの場合、照明方向は知り、それでも、物体の面の反射係数までは知らない。そこで、面の反射係数が不明の時に、円筒状物体の運動を明らかにする

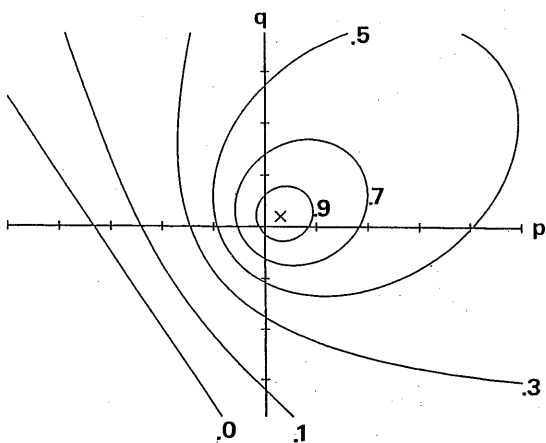


図 6. 図 1 に対する反射率地図  $(PS, QS) = (3, 2)$

事を考える。

簡単な方法は、最も明るい母線による測定される平面の向き(図 5,  $A_1 E_1$ )と、三角形を構成して得られる平面の向き(図 5,  $B_1 C_1 E_1$ )が一致する様に、反射係数と入射光の強さの積  $PI$  (式(1)参照)を観察する事である。

この方法は常にうまくいくとは限らない。なぜなら、画像の各点の明るさや、勾配直線を求める際の、平面の輪郭線の接線の方向などに含まゆる誤差の影響で、正確な平面の向きを得るのはむずかしいのである。そこで、次の手法を変更して、これまでに画像全体を通して、平面積や母線の長さが、一定である様な  $PI$  を観察することを考える。

簡単のため 2 画面の場合について考えよう。先ず、小さい画面で、いくつかの  $PI$  を仮定し、それらの値に対して、拡張反射率地図法を適用し平面の向きを求める。この値から平面積や母線の長さを算出する。剛体条件から、平面積や母線の長さは不变であるので、2 画面間で変化しない様な  $PI$  を観察する。当然、画面数が増えれば、 $PI$  の値や平面の向きは信頼性の高いものとなる。

実験結果から、 $PI$  が真値から多少でも、平面の向きの評価には、大ほど影響がないことが判った。

## 4. 実験結果

図 1(a)(b)に示した円筒状物体に対する照明の反射率地図を図 6 に示す。照明方向は  $(PS, QS) = (3, 2)$  である、 $X$ 印で示してある。数字は  $PI$  に対する比を示している。先ず最初に、様々な値の  $PI$  に対して平面の向きが求められる。 $PI$  の初期値は、画面内の最も明るいレベルであり、以後、徐々に引き上げられる。図 7 に図 1(a)に対する実験結果の一部を示す。 $PI$

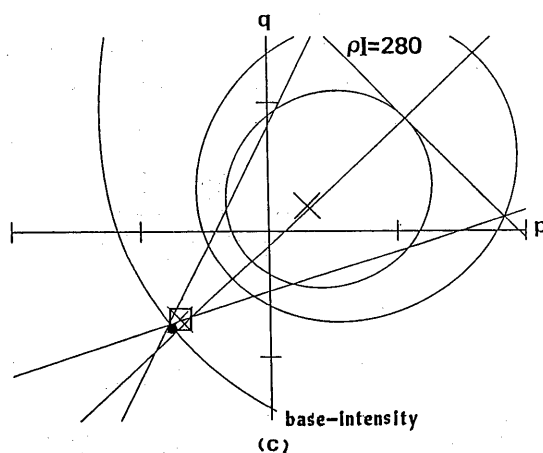
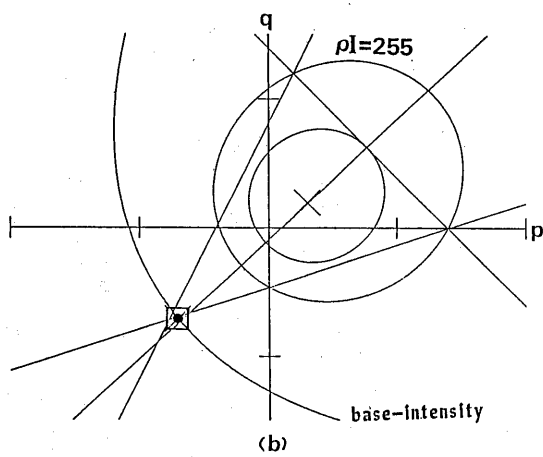
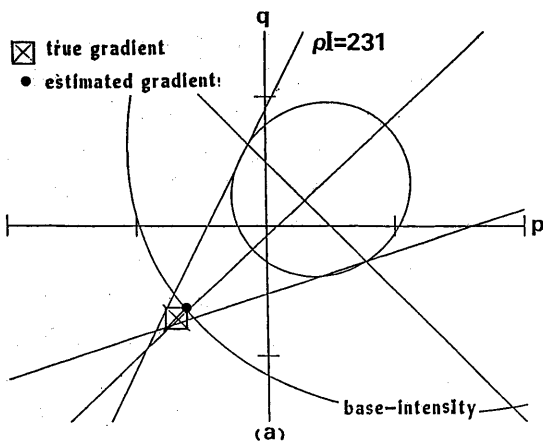


図7. 図1(a)に対する3箇面の向きの算出過程

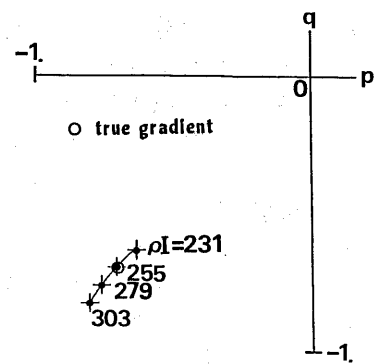


図8. PIの値に対する画面の向きの変化

の値として初期値の 231 (図7.(a)), 真値の 255 (: 8bit) (図7.(b)), そして最大値の 280 (図7.(c)) の 3つの場合を示す。これらの図から判るように、2つの拘束条件から導かれる画面の向きの値の収束度合は、PIの値にあまり左右されず、それ故、一枚の画面だけから、PIの値を評価するのは困難である。しかししながら、實際 PI の値から導かれる画面の向きは、図8に示す様に、非常に接近した値となる。例えば、PI = 303 (真値の 120%) としても、その値が3箇面の向きと真の向きとの誤差は 5 度以内である。図1.(b)に対する解

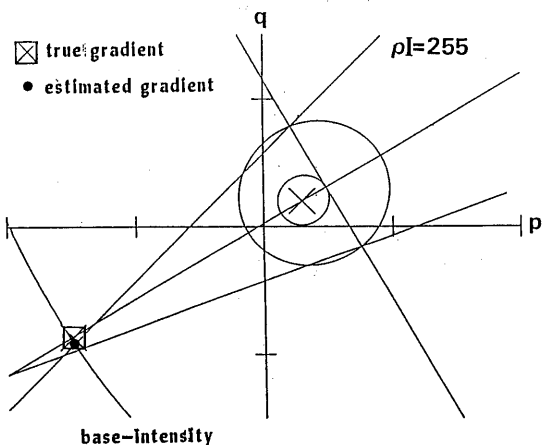


図9. 図1.(b)に対する画面の向きの算出

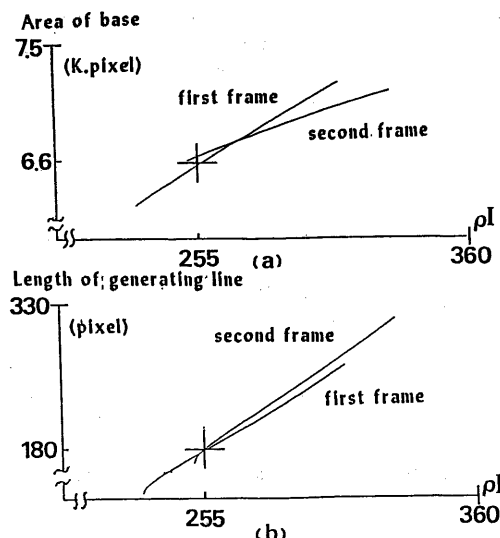


図10.  $\rho_I=$ に対する底面積と母線の長さ

析を図9に示す。図7や図9から評価された底面q向きから、図1の2画面間の動きが決定される。運動のパラメータの決定に関する文獻[3]に詳しく述べてある。

次に、物体の形のパラメータが不变である事を利用して、各の $\rho_I$ を見出する手法を適用してみよう。図10は各 $\rho_I$ の値に対する底面積及び母線の長さの関係を、2枚の画面について示したものである。底面積や、母線の長さは、不規則であるから「十」印で示す

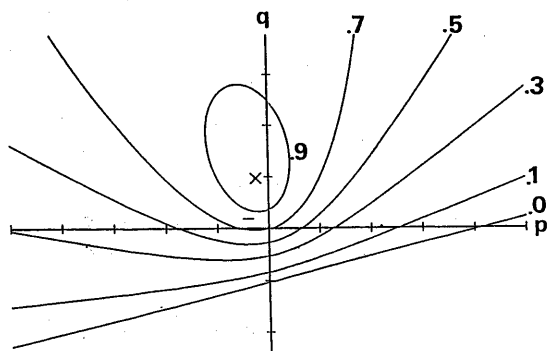


図11. 観測者と $45^\circ$ 角でなす照明方向  $(ps,qs)=(-24,97)$

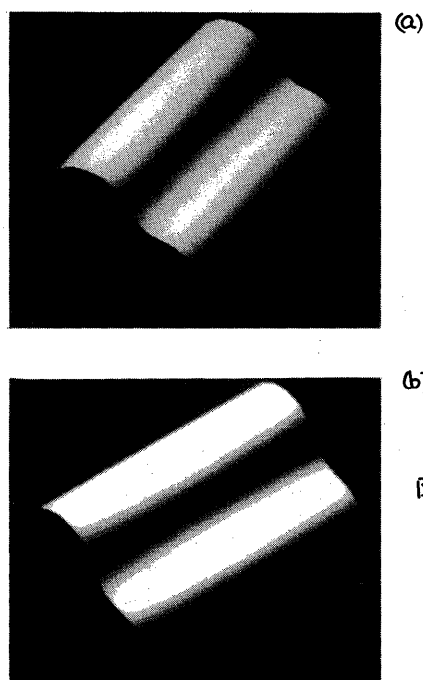


図12.  
入力画像  
(a), (b)

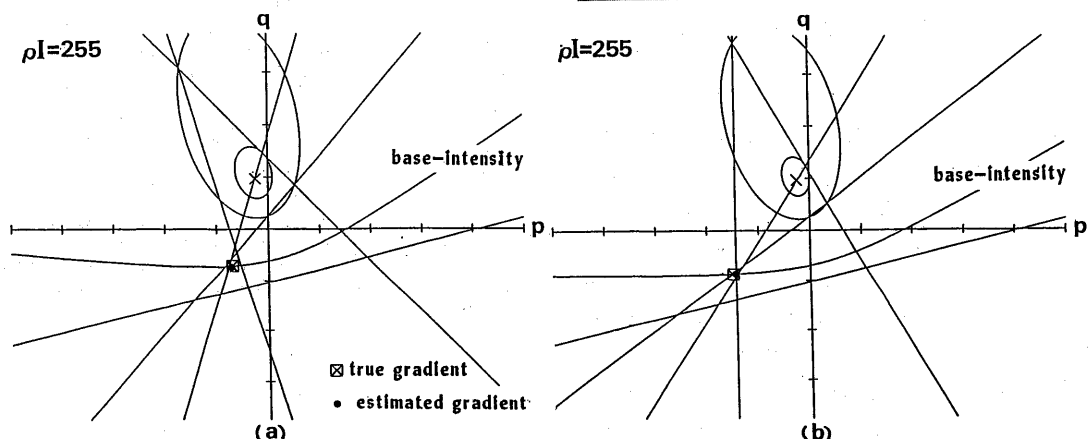


図13. 図12(a)入力画像にに対する底面q向とq決定過程(図12(a)→(a), 図12(b)→(b))

した真値をとるべきである。母線の長さに対する オイ曲線の交点は、(ほぼ) 変換に近い値をとる。しかし、底面積に対する オイ曲線の交点は、やや変換からズレている。しかししながら、これは、オイ曲線の底面の向きの誤差は、必ずしも  $1.3^\circ$  に過ぎず、本手法の信頼性の高さを示している。

底面積や母線の長さの変化率は、照明方向が、観測者と同一方向の場合の明るさの変化率と等価である。しかし、照明方向と観測者の反す角ほどなく大きく大きくなる。図1の例では約  $20^\circ$  である。そのため、底面積や、母線の長さに対する オイ曲線の傾きは、2枚の画像で似た値をとる。しかし。

次に別の例として、照明方向を  $(PSQ) = (-24, 97)$  にとり、観測者の方向とみす角を  $45^\circ$  にして場合をとりあげよ。図11に反射率地図を、図12に入力画像を、図13、14にその結果を示す。

## 5. おわりに

ここでは、濃淡情報を利用して、画像列から、円筒状物体の運動を理解する手法について述べた。円筒面に対しては、局所的な明るさの解析では、照明条件の3つのパラメータが求められる。そこで、反射率地図法を拡張するために、大局的な明るさの情報として、最も明るい母線による拘束条件をここでは利用した。この条件を利用すると、底面の向きの決定が容易になる同時に複数個の候補の中から真の解となる事ができる。

更に、物体の面の反射係数が未知の場合でも、底面積や母線の長さ等の幾何学的パラメータが不变である事を利用して オイの値を決定した。オイの信頼性は、照明方向と観測者の方向とがみす角度に依存する。また、各点の法線ベクトルの値は PI の値を決定する際の誤差に対して、それ程影響

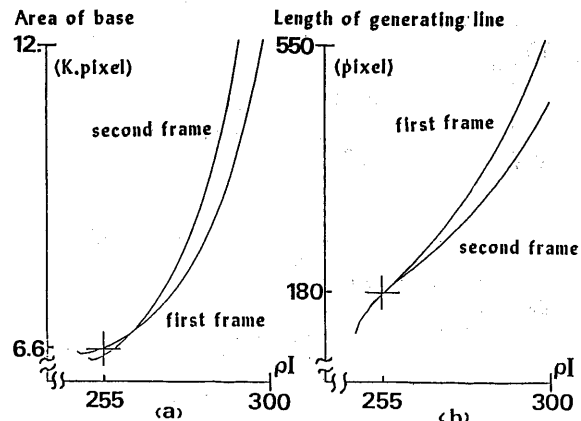


図14. 図12の入力画像に対する結果

を及ぼさない。

本文では主に濃淡情報を利用して解析が中心である。だが、形の情報の解析による運動の理解も重要な要素である。<sup>[3]</sup> 現在の所、物体の幾何学的パラメータの不变性だけを利用してみると、将来、これら形と濃淡情報を共に利用して解析が望まれる。我々は、円筒状の物体に対する運動解析について研究して来たが、このほとんどの部分の考えは、同様のクラスの物体、例えば円錐状の物体に対しても有効である。

## 参考文献

- [1] Ullman, S.: The Interpretation of Visual Motion, MIT Press, Cambridge MA, 1979.
- [2] Nagel, H. H.: Image Sequence Analysis: What Can We Learn from Applications?, in Huang, T. S. (Ed.): Image Sequence Analysis, Springer-Verlag, Berlin Heidelberg, 1981.
- [3] Asada, M. And Tsuji, S.: Inferring Motion of Cylindrical Object from Shape Information, Proc. IJCAI83, 1983.
- [4] Pentland, A. P.: Local Shading Analysis, SRI Technical Note 272, 1982.
- [5] Horn, B. K. P.: Understanding Image Intensities, Artificial Intelligence, Vol. 8, pp. 201-231, 1977.
- [6] Asada, M. And Tsuji, S., "Inferring of Motion of Cylindrical Object from Shading." In Proc. IEEE Conf. CVPR, June, 1983.